

Мультимоделирование SVM

Иванычев С, Адуенко А.

sergeyivanichev@gmail.com, aduenko1@gmail.com

1 Введение

Работа посвящена комбинированию небольшого количества SVM, использующих kernel-trick с различными ядрами и получению комбинированного классификатора для улучшения решений задач классификации и регрессии.

SVM(Support Vector Machine) или *метод опорных векторов* [6, 3] — используется для задач классификации и регрессии. Оптимизационная задача, к которой сводится обучение этого алгоритма зависит от скалярных произведений объектов. Использование *ядер*, то есть скалярных произведений в сопряженном пространстве, позволяет получить разделяющие поверхности между классами более сложной формы [17]. Наша цель — скомбинировать SVM с различными примененными ядрами для улучшения решения, а также анализ множеств опорных объектов в случае разных использованных ядер.

Наиболее часто используемые способы комбинации — это бэггинг [4] и бустинг [8], и их вариации, однако практика показывает, что они эффективно работают только с большим количеством слабых классификаторов, что делает невозможным использование его использование для указанного множества базовых алгоритмов.

[14] использовали совокупность SVM для уменьшения ошибочно негативных классификаций (FP) в задаче фильтрации спама среди электронных писем. Для этого на электронных письмах были введены различные метрики, для каждой из них был приспособлен SVM, а затем результат получался голосованием [13]. [9], решавшие задачу распознавания написанных рукой символов, разбивали множество признаков на четыре подмножества, и на каждом из них обучали SVM, увеличив этим самым коэффициент распознавания по сравнению с одним SVM.

Метод многоядерного обучения (MKL, multiple kernel learning) [7, 5, 2] основывается на том, что линейная комбинация ядер также является ядром. Данный метод хорош при объединении данных из нескольких источников и полной автоматизации, так как суперпозиция функций может быть оптимизирована, например кросс-валидацией.

Мы также предлагаем использовать накопившийся банк ядер [17], однако не в формировании сложного ядра, а комбинированием классификаторов с разными ядрами. Известно, что алгоритм b_i для объекта x_j обучающей выборки генерирует *отступ* (margin). По отступу в общем случае можно определить не только предсказанный класс, но и насколько удален объект от разделяющей поверхности в спрямляющем пространстве. В случае банка с n ядрами и обучающей выборки с m сэмплами мы получим матрицу отступов $M \in \mathbb{R}^{m \times n}$. Отнормировав ее, мы получим новую матрицу «объект-признак», где вектором признаков каждого объекта будет вектор отнормированных отступов.

В этой работе предложен алгоритм обучения на матрице отступов, проведен анализ опорных объектов, генерируемые различными ядрами, а также проведено тестирование полученного алгоритма на реальных данных репозитория UCI.

2 Постановка задачи

Пусть $X^l = (\vec{x}_i, y_i)_{i=1}^l$ — обучающая выборка, $\vec{x} \in \mathbb{R}^n, y \in \{\pm 1\}$.

Определение 2.1.

Под s -й моделью будем понимать SVM с ядром K_s где выбрано множество ядер:

$$\mathcal{K} = \{K_i\}_{i=1}^m$$

При обучении каждая модель дает классификатор или регрессор (в зависимости от типа Y). Например, для случая $Y \in \{-1, +1\}$ классификации алгоритм выглядит следующим образом:

$$b_s(x) = \mathbf{sign} \left[\sum_{i=1}^l \lambda_i y_i K_s(\vec{x}_i, \vec{x}) - w_0 \right] \quad (1)$$

Где $\{\lambda_i\}$ и w_0 находятся из решения задачи математического программирования[17]

$$\begin{cases} \sum_{i=1}^l \lambda_i + \frac{1}{2} \sum_{i=1}^l \sum_{j=1}^l \lambda_i \lambda_j y_i y_j K_s(\vec{x}_i, \vec{x}_j) \rightarrow \min_{\lambda} \\ 0 \leq \lambda_s \leq c, \quad i = 1 \dots l \\ \sum_{i=1}^l \lambda_i y_i = 0 \end{cases}$$

Результатом обучения является то, что модель для обучающей выборки генерирует вектор *отступов* (margins) для каждого объекта.

$$M_s = \sum_{i=1}^l \lambda_i y_i K_s(\vec{x}_i, \vec{x}) - w_0$$

Совокупность отступов порождает матрицу отступов размерности $M \in \mathbb{R}^{l \times m}$, в котором (i, j) -й элемент — это отступ i -го объекта в SVM с j -м ядром. Авторы утверждают, что эта матрица может быть использована как новая обучающая выборка для построения агрегирующего алгоритма.

Рассмотрим M как новую матрицу «объект-признак», \mathcal{A} — множество алгоритмов вида

$$\mathcal{A} = \{a(\vec{x}) = g(\vec{x}, \theta) | \theta \in \Theta\} \quad g : \mathbb{R}^m \rightarrow Y \quad (2)$$

где Θ — некое семейство параметров.

Определение 2.2.

Пару (g, \mathcal{K}) назовем *мультимоделью*.

$L(y, y^*)$ — функционал качества. Тогда перед нами стоит Задача выбора алгоритма агрегирования сильных классификаторов супермодели:

$$L(y, g(M(X), \theta)) \rightarrow \min_{\Theta} \quad (3)$$

В качестве этой функции мы предлагаем использовать площадь под ROC-кривой (AUC-ROC) как устойчивый к несбалансированностям в выборке.

3 Близость моделей

Так как агрегация сильных классификаторов должна быть устойчива к похожим моделям в ее составе, она должна каким-то образом определять идентичные SVM. В данной секции попробуем установить связь между корреляцией векторов отступов, генерируемых разными ядрами на одной и той же обучающей выборке и степенью «похожести» ядер. Понятие «похожести» или близости отождествляется с введением метрики на пространстве ядер.

Определение 3.1.

Расстоянием между ядрами $\rho(K_i, K_j)$ на выборке X^l будем называть функцию:

$$\rho_{X^l}(K_i, K_j) = \frac{\# [SV_i \Delta SV_j]}{\# [SV_i \cup SV_j]}$$

Где под SV_j понимается множество опорных объектов на j -м ядре, под знаком Δ — симметрическая разность.

Определение 3.2.

Похожестью SVM с ядрами K_i, K_j будем называть следующую функцию

$$s_{X^l}(K_i, K_j) = 1 - \text{corr}(M_i, M_j)$$

где под M_i понимается вектор отступов соответственного SVM, а функция $\text{corr}(\cdot, \cdot)$ — корреляция Пирсона.

В качестве исходных данных возьмем датасеты Wine [1], German credit data[11] и Heart disease[15]. Варьируя коэффициент L2-регуляризации, в качестве базового набора ядер возьмем

- Линейное
- Полиномиальное (степени 3, 4, 5)
- RBF-ядро ($\gamma \in \{0.0001, 0.001, 0.01, 0.1, 1\}$)

Для каждого значения коэффициента регуляризации построим графики опишем полученное множество классификаторов.

3.1 German credit dataset

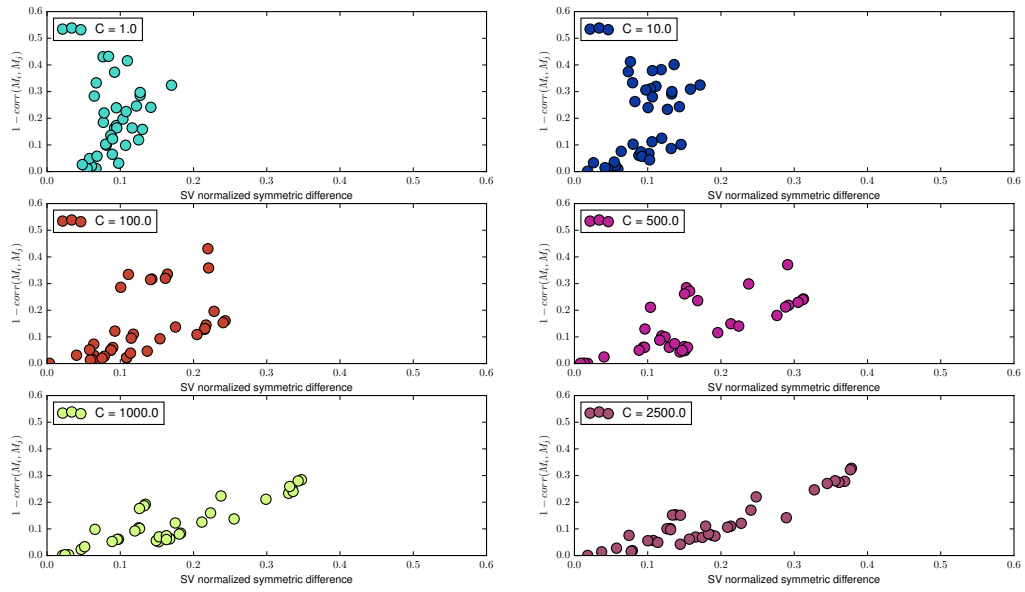


Рис. 1: German credit

Таблица 1: German info

	mean(#SV)	mean($1 - \text{corr}(M_i, M_j)$)	mean($\rho_{X^i}(K_i, K_j)$)	Correlation
$C = 1.0$	603.4	0.184	0.094	0.376
$C = 10.0$	603.6	0.187	0.097	0.537
$C = 100.0$	594.7	0.134	0.131	0.556
$C = 500.0$	584.3	0.133	0.161	0.717
$C = 1000.0$	581.6	0.120	0.172	0.870
$C = 2500.0$	577.9	0.126	0.189	0.918

Обучающая выборка состоит из 1000 семплов по 24 числовых признака.

3.2 Wine dataset

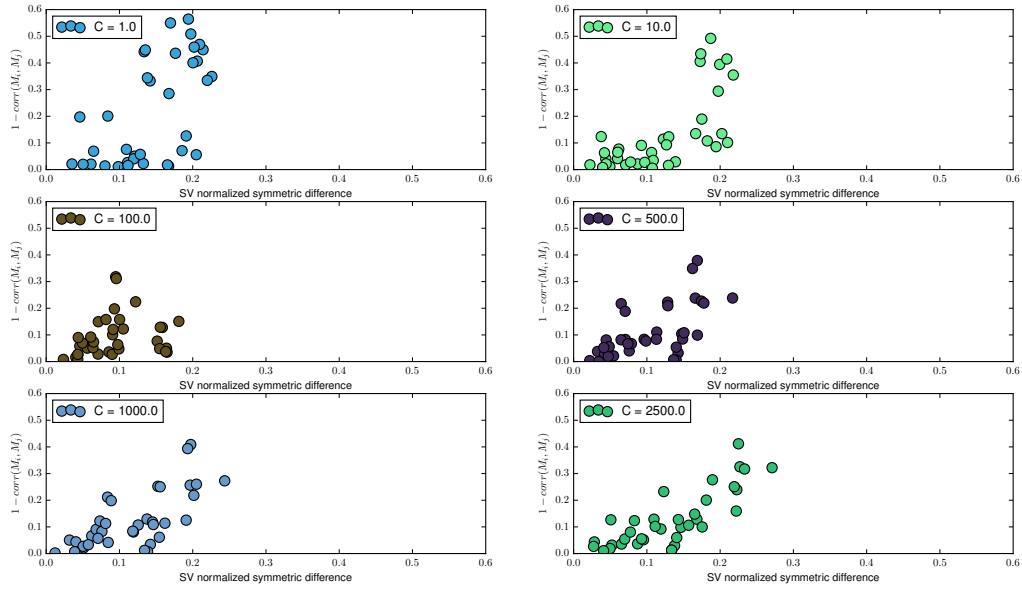


Рис. 2: Wine quality

Таблица 2: Wine info

	$\text{mean}(\#\text{SV})$	$\text{mean}(1 - \text{corr}(M_i, M_j))$	$\text{mean}(\rho_{X^l}(K_i, K_j))$	Correlation
$C = 1.0$	3284.1	0.220	0.144	0.600
$C = 10.0$	3284.9	0.130	0.121	0.687
$C = 100.0$	3275.0	0.091	0.091	0.270
$C = 500.0$	3252.6	0.110	0.105	0.591
$C = 1000.0$	3235.2	0.124	0.118	0.694
$C = 2500.0$	3208.6	0.127	0.133	0.795

3.3 Heart dataset

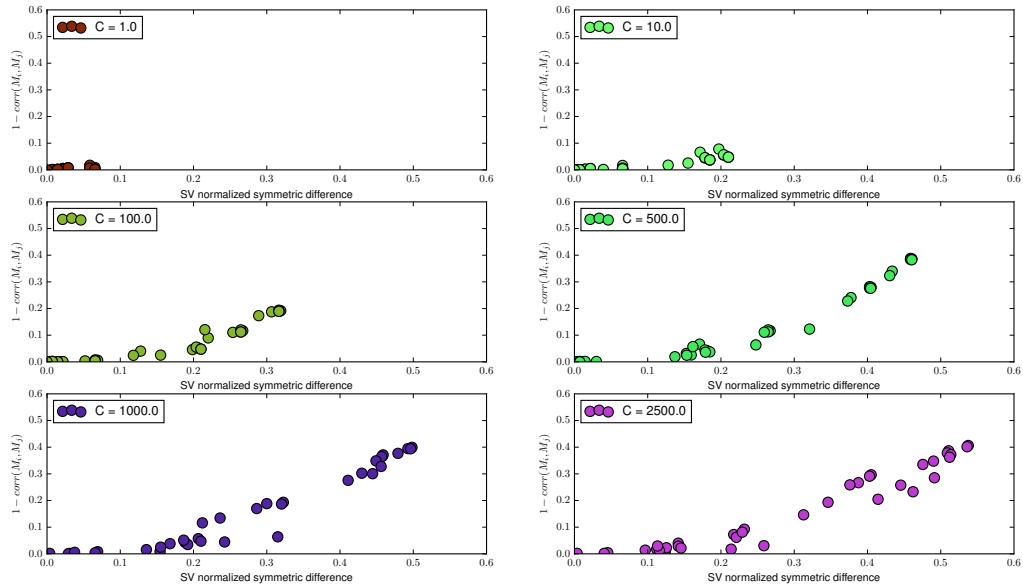


Рис. 3: Heart disease

Таблица 3: Heart info

	$\text{mean}(\#SV)$	$\text{mean}(1 - \text{corr}(M_i, M_j))$	$\text{mean}(\rho_{X^i}(K_i, K_j))$	Correlation
$C = 1.0$	272.0	0.003	0.027	0.608
$C = 10.0$	260.8	0.020	0.088	0.929
$C = 100.0$	249.1	0.063	0.152	0.927
$C = 500.0$	231.9	0.135	0.238	0.940
$C = 1000.0$	223.1	0.157	0.268	0.953
$C = 2500.0$	211.4	0.166	0.297	0.962

3.4 Выводы из эксперимента

Уже по этим данным можно сказать, что

- С ростом константы регуляризации расстояние между ядрами и расстояние между их отступами лучше коррелируют между собой.
- При высоких параметре регуляризации коэффициент корреляции Пирсона достигает более 0.8, то есть расстояния практически линейно зависят друг от друга.
- Вектора средних ядерных и отступных расстояний коррелируют по-разному на различных датасетах (на Wine и Heart корреляции Пирсона 0.85 и 0.99 соответственно, на German — -0.92).

3.5 Решение задачи. Модели

В качестве множества ядер \mathcal{K} , участвующих в мультимодели выберем следующий набор.

- Линейное

$$K_{\text{linear}}(x, x') = \langle x, x' \rangle$$

- Полиномиальное (степени 3, 4, 5)

$$K_{d\text{-poly}}(x, x') = (\langle x, x' \rangle + 1)^d$$

- RBF-ядро (*Radial basis function*) ($\gamma \in \{0.0001, 0.001, 0.01, 0.1, 1\}$)

$$K_{\text{RBF}}(x, x') = e^{-\gamma \|x - x'\|^2}$$

- INK-spline ядро[12] (степени 1, 2)

$$K(x, y) = \sum_{r=0}^d (x - a)^r (y - a)^r + \sum_{r=0}^d \frac{1}{2d - r + 1} \binom{d}{r} (|x - y|)^r (\min(x, y) - a)^{2d-r+1}$$

$$\mathbf{K}(\mathbf{x}, \mathbf{x}') = \prod_{j=1}^n K_j(x_j, x'_j)$$

$$K_{\text{INK}}(\mathbf{x}, \mathbf{x}') = \frac{\mathbf{K}(\mathbf{x}, \mathbf{x}')}{\sqrt{\mathbf{K}(\mathbf{x}, \mathbf{x})\mathbf{K}(\mathbf{x}', \mathbf{x}')}}}$$

Данное множество выбрано как наиболее универсальные представители различных классов ядер.

3.6 Виды мультимodelей. Логистическая регрессия (logregr).

Базовым вариантом агрегирующего алгоритма является логистическая регрессия обученная на всей обучающей выборке X^l . Эта модель характеризуется оптимизационной задачей

$$R(w) + C \sum_{i=1}^n \log(\exp(-y_i(X_i^T w + c)) + 1) \rightarrow \min_{w, c} \quad (4)$$

где $R(w)$ — регуляризатор. Здесь для большей наглядности будем пользоваться обозначениями $X_{\text{train}}, y_{\text{train}}, X_{\text{test}}$. Опишем процессы обучения супермодели и предсказания.

Данный подход зарекомендовал себя как склонный к переобучению, так как при наличии практически идеального классификатора в супермодели, например, переобученного на X_{train} , логистическая регрессия будет давать ему на обучении большие веса, тем самым также переобучаясь.

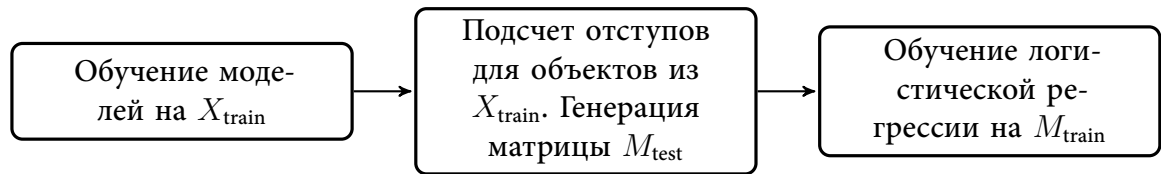


Рис. 4: Обучение (logregr)

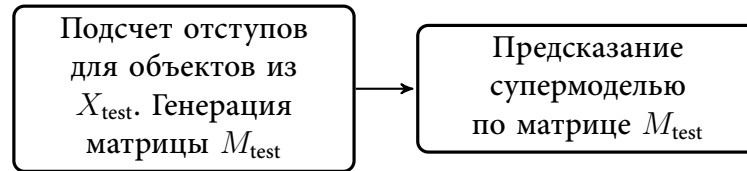


Рис. 5: Предсказание (logregr)

4 Stacked generalization (logregr + stacking)

Для того, чтобы избежать переобучения мы применим *стэкинг*[18] (stacking). Обучающую выборку разделим на две подвыборки X_{train} и X_{validate} . На первой из них обучаем SVM, а на предсказанных отступах другой половины обучаем логистическую регрессию.

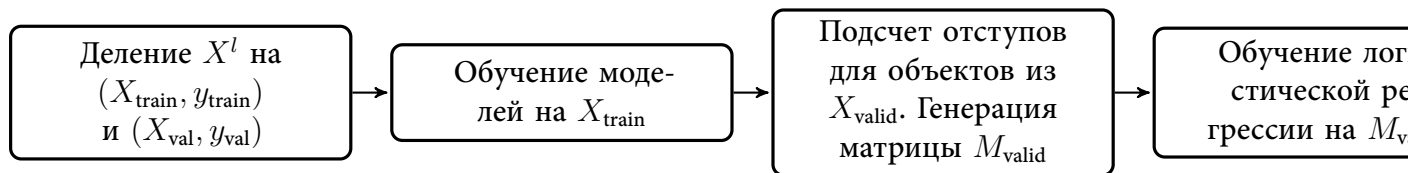


Рис. 6: Обучение (logregr + stacking)

Процесс предсказания остался аналогичным базовому варианту.

5 Положительная логистическая регрессия (positive)

Обладея множеством моделей, алгоритм, агрегирующий их, учитывает в большей или меньшей степени каждый из классификаторов. Напомним, что логистическая регрессия сопоставляет на этапе решения оптимизационной задачи 4 каждому признаку некоторый вес. В случае нашей задачи признаки — это отступы классификаторов, что делает некорректным отрицательность весов. Эту проблему можно решить несколькими способами:

- **(reg + pos)** Используем l_1 -регуляризацию в 4, тем самым отбирая классификаторы, а затем откидываем те, вес которых отрицателен. То есть логистическая регрессия будет учитывать только отступы, соответствующие положительным весам w_i .
- **(rob)** Переопределим задачу минимизации 4, задав условие положительности весов

$$w \geq 0$$

Данный вариант логистической регрессии называется *робастной регрессией*.

6 Модификации алгоритма

Существуют различные модификации алгоритма (logregr + stacking) с нестрогими обоснованиями того, почему соответствующие изменения могут в том или ином виде улучшить работу супермодели.

- (... + re): SVM обучаются не на всей выборке, а лишь только на ее части. После обучения логистической регрессии, обучим SVM заново уже не на $(X, y)_{\text{train}}$ а на всех тестовых данных (X, y) .
- (... + w): Обобщающую способность моделей в общем случае некорректно сравнивать исходя из полученных AUC для заданной обучающей выборки и тестовых данных, так как небольшое (≈ 0.05) отклонение функционала качества может быть статистически не значимым. Тем не менее, вероятно, существует порог для разности AUC двух моделей, после которого мы можем охарактеризовать одну модель как явно худшую другой. Предлагается задать «окно» δ и отсекаать на этапе обучения SVM, для которых не выполняется условие

$$\max\{AUC_j\}_{j=1}^m - AUC < \delta$$

После сокращения, множество моделей обучается заново.

7 Сравнение супермоделей

Для сравнения супермоделей будем использовать четыре датасета: housing [10], german [11], heart [15] и синтетический. Последний создан как пример «плохого» датасета, на котором каждый классификатор едва лучше константного. Способ генерации синтетического датасета и порядок предобработки данных приведен в приложении. Представим результаты тестирования датасетов в общей таблице, в ячейках которой содержится разность AUC супермодели и лучшего классификатора из множества моделей. Названия столбцов обозначают комбинацию приведенных выше идей.

8 Вывод

В статье приведены новые способы агрегирования небольшого количества сильных классификаторов, а также несколько эвристик, которые должны улучшить результирующую обобщающую способность алгоритма. На данный момент полученный результат не состоятелен и не позволяет говорить о том, что мы смогли успешно скомбинировать сильные классификаторы. Метод нуждается в доработке. При успешном завершении работы необходимо обобщить алгоритм на случай $|Y| < \infty$ (многоклассовая классификация) и $|Y| = \infty$ (регрессия).

9 Приложение

9.1 Исходный код

Исходный код проекта написан на Python 3.5 с использованием библиотек `scikit-learn` [16], `numpy`, `pandas`, `matplotlib`, `scipy` и стандартной библиотеки языка. Вы можете ознакомиться с материалами, перейдя по [ссылке](#). Документация проекта содержится в файле `readme.md`, в соответствующих файлах папок `./code` и `./doc` а также в виде документирующих строк в модулях и объектах внутри Python-кода.

9.2 Предобработка данных

Все данные с репозитория UCI предобрабатывались следующим образом:

- Обучающая выборка нормализуется. Стандартное отклонение и ожидаемое среднее сохраняются для преобразований тестовой выборки.

$$\text{Mean} \leftarrow \text{mean}(X) \quad \text{Std} \leftarrow \text{std}(X)$$

$$X \leftarrow \frac{X - \text{Mean}}{\text{Std}}$$

- Отступы каждого классификатора преобразуются таким образом, чтобы средний модуль был равен 1.

$$\text{MeanMargins} \leftarrow \frac{\text{Margins}}{\text{mean}(\text{abs}(\text{Margins}))}$$

$$\text{Margins} \leftarrow \frac{\text{Margins}}{\text{MeanMargins}}$$

9.3 Подготовка синтетических данных

Средние значения AUC для данных из репозитория относительно велик (≥ 0.8), что говорит о том, что каждый классификатор прекрасно справляется с задачей классификации.

Предполагается, что этих условиях улучшить результат проблематично, поэтому мы должны испытать супермодель на худших данных. Будем генерировать датасет следующим образом

- Задаем размерность ndim и количество объектов nsamples .
- Генерируем $X' \subset \mathbb{R}^{100 \times \text{ndim}}$ из нормального распределения $(0, 1)$ и y' из $\text{Be}(1/2)$
- Обучаем модели из \mathcal{K} на (X', y') . Получили совершенно произвольные классификаторы $\text{RandomCLS} = \{\text{SVM}'_i\}$.
- Напомним, что $|\mathcal{K}| = m$. Генерируем $X \in \mathbb{R}^{\text{nsamples} \times \text{ndim}}$, $w \in \mathbb{R}^m$ — произвольные выборка и вектор весов из $\mathcal{N}(0, 1)$ и $U(0, 1)$ соответственно.
- Вычисляем матрицу отступов M , порождаемую классификаторами RandomCLS по матрице объектов X .
- $y_i = \text{Be}(\frac{1}{1 + \exp(-Xw^\top)})$
- X, y — результирующий датасет.

Список литературы

- [1] Stefan Aeberhard. *Wine Data Set*. 1991. URL: <https://archive.ics.uci.edu/ml/datasets/Wine>.
- [2] Salah Althloothi и др. «Human activity recognition using multi-features and multiple kernel learning». B: *Pattern Recognition* 47.5 (2014), с. 1800—1812. ISSN: 00313203. DOI: [10.1016/j.patcog.2013.11.032](https://doi.org/10.1016/j.patcog.2013.11.032). URL: <http://dx.doi.org/10.1016/j.patcog.2013.11.032>.
- [3] Bernhard E. Boser, Isabelle M. Guyon и Vladimir N. Vapnik. «A Training Algorithm for Optimal Margin Classifiers». B: *Proceedings of the Fifth Annual ACM Workshop on Computational Learning Theory* (1992), с. 144—152. ISSN: 0-89791-497-X. DOI: [10.1.1.21.3818](https://doi.org/10.1.1.21.3818). arXiv: [arXiv:1011.1669v3](https://arxiv.org/abs/1011.1669v3). URL: <http://citeseerx.ist.psu.edu/viewdoc/summary?doi=10.1.1.21.3818>.
- [4] Leo Breiman. «Bagging Predictors». B: *Machine Learning* 24.421 (1996), с. 123—140. ISSN: 0885-6125. DOI: [10.1007/BF00058655](https://doi.org/10.1007/BF00058655).
- [5] S.S. Bucak, R. Jin и Ak. Jain. «Multiple Kernel Learning for Visual Object Recognition: A Review». B: *IEEE Transactions on Pattern Analysis and Machine Intelligence* 36.7 (2014), с. 1354—1369. ISSN: 0162-8828. DOI: [10.1109/TPAMI.2013.212](https://doi.org/10.1109/TPAMI.2013.212). URL: <http://ieeexplore.ieee.org/lpdocs/epic03/wrapper.htm?arnumber=6654166>.
- [6] Corinna Cortes и Vladimir Vapnik. «Support-Vector Networks». B: *Machine Learning* 20.3 (1995), с. 273—297. ISSN: 15730565. DOI: [10.1023/A:1022627411411](https://doi.org/10.1023/A:1022627411411). arXiv: [arXiv:1011.1669v3](https://arxiv.org/abs/1011.1669v3).
- [7] Martin Dyrba и др. «Multimodal analysis of functional and structural disconnection in Alzheimer's disease using multiple kernel SVM». B: *Human Brain Mapping* 36.6 (2015), с. 2118—2131. ISSN: 10970193. DOI: [10.1002/hbm.22759](https://doi.org/10.1002/hbm.22759).
- [8] Y. Freund. *Boosting a Weak Learning Algorithm by Majority*. 1995. DOI: [10.1006/inco.1995.1136](https://doi.org/10.1006/inco.1995.1136). URL: <http://linkinghub.elsevier.com/retrieve/pii/S0890540185711364>.
- [9] D. Gorgevik и D. Cakmakov. «Handwritten Digit Recognition by Combining SVM Classifiers». B: *EUROCON 2005 - The International Conference on Computer as a Tool* 2. February (2005), с. 1393—1396. DOI: [10.1109/EURCON.2005.1630221](https://doi.org/10.1109/EURCON.2005.1630221).
- [10] D. Harrison и D.L. Rubinfeld. *Concerns housing values in suburbs of Boston*. 1993. URL: <https://archive.ics.uci.edu/ml/datasets/Housing>.
- [11] Dr. Hans Hofmann. *Statlog (German Credit Data) Data Set*. 1994. URL: [https://archive.ics.uci.edu/ml/datasets/Statlog+\(German+Credit+Data\)](https://archive.ics.uci.edu/ml/datasets/Statlog+(German+Credit+Data)).
- [12] Rauf Izmailov, Vladimir Vapnik и Akshay Vashist. «Multidimensional splines with infinite number of knots as SVM kernels». B: *Proceedings of the International Joint Conference on Neural Networks* 2 (2013). DOI: [10.1109/IJCNN.2013.6706860](https://doi.org/10.1109/IJCNN.2013.6706860).
- [13] J. Kittler, M. Hater и R. P W Duin. «Combining classifiers». B: *Proceedings - International Conference on Pattern Recognition* 2.3 (1996), с. 897—901. ISSN: 10514651. DOI: [10.1109/ICPR.1996.547205](https://doi.org/10.1109/ICPR.1996.547205).
- [14] Manuel Martin-merino и Manuel Mart. «Combining SVM Classifiers for Email Anti-spam Filtering». B: 4507. February (2007). DOI: [10.1007/978-3-540-73007-1](https://doi.org/10.1007/978-3-540-73007-1). URL: <http://link.springer.com/10.1007/978-3-540-73007-1>.

- [15] Andras Janosi M.D и др. *Heart Disease Data Set*. 1988. URL: <https://archive.ics.uci.edu/ml/datasets/Heart+Disease>.
- [16] F. Pedregosa и др. «Scikit-learn: Machine Learning in Python». В: *Journal of Machine Learning Research* 12 (2011), с. 2825—2830.
- [17] Alex J Smola, Bernhard Sch и B Schölkopf. «A Tutorial on Support Vector Regression». В: *Statistics and Computing* 14.3 (2004), с. 199—222. ISSN: 09603174. DOI: [10.1023/B:STCO.0000035301.49549.88](https://doi.org/10.1023/B:STCO.0000035301.49549.88).
- [18] David H Wolpert. «Stacked Generalization». В: 87545.505 ().

Таблица 4: Результаты мультимоделирования

	l_2	l_1	$l_1 re$	$l_1 w0.05$	$l_1 re w0.05$	$l_1 pos $	$l_1 pos re$	$l_1 pos w0.05$	$l_1 pos re w0.05$	$l_2 rob$	$l_1 rob$	$l_1 rob w0.05$	$l_1 rob re$	$l_1 rob w0.05 ref$
housing	0.003	0.003	-0.001	0.003	0.002	0.003	0.001	0.002	0.002	0.003	0.003	0.002	0.002	0.001
heart	-0.008	-0.008	-0.005	-0.002	-0.007	-0.003	-0.001	-0.003	-0.009	-0.005	-0.005	-0.005	-0.002	-0.007
getman	-0.002	-0.003	-0.004	0.002	-0.030	0.001	0.002	0.002	-0.027	0.001	0	0.001	0.002	-0.023
synthetic	-0.011	-0.008	-0.015	-0.070	-0.011	-0.019	-0.026	-0.017	-0.013	-0.016	-0.020	-0.01	-0.019	-0.034